



Research Paper

Online ISSN: 2717-2325

Journal of Geographical Studies of Mountainous Areas

Journal homepage: <http://www.gsma.lu.ac.ir>



Landslide risk assessment and zoning in Bionij watershed, Kermanshah province

Mahdi Zarei ^{a,*}, Hadis Moradi ^b, Seyed Hassan Alavinia ^c, Kazem Aliabadi ^d

^a Assistant Professor, Research Center of Social Sciences and Geographical Studies, Hakim Sabzevari University, Sabzevar, Iran

^b Phd Graduate, Department of Gaomorphology, Faculty of Geography and Environment Sices, Hakim Sabzevari University, Sabzevar, Iran

^c Assistant Professor, Department of Watershed Management, University of Kashan, Kashan, Iran

^d Research Center of Social Sciences and Geographical Studies, Hakim Sabzevari University, Sabzevar, Iran

ARTICLE INFO

Article history:

Received: 26 June 2022;

Accepted: 15 February
2023

Available online 10 May
2023

Keywords:

Landslide, Bionij
watershed, zoning,
LIM model

ABSTRACT

Landslides is considered as one of the major natural hazards in mountainous areas. Identifying the effective factors in the occurrence of landslides in a basin and zoning its risk is one of the basic tools to achieve solutions to control this phenomenon and select the most appropriate and practical management option. The present study aimed to evaluate the factors affecting the occurrence of landslides and its zoning using the LIM model. For this purpose, after obtaining the weight of each of the factor maps and the weight column of each unit (including: altitude, slope, slope direction, drainage density, distance from the river, distance from the road, lithological units, distance from the fault, Vegetation, land use, annual rainfall and soil hydrological groups) The final weight and landslide zoning map was obtained using a model from the algebraic sum of the 11 factor layers. According to the results, around 34 % of the study area located in the range of high to very high risk, around 41 % in the range of low to very low potential risk, and the rest in the range of medium potential of landslide occurrence. The results of the maximum values obtained for the final weight of different variables indicated that slope, distance from the road, land use, vegetation, height, lithology, distance from the river, rainfall, soil hydrological group, slope direction and the distance from the fault have the most to the least influence on the occurrence of landslides in the studied region, respectively. In general, the research results can provide useful information to planners in various sectors, including agriculture, industry, environment, etc.

1. Introduction

Landslide is one of the types of mass movements, as a result of which materials flow downward along a certain surface on the slope (Zuzeli et al., 2018). Mass erosions, including landslides, lead to financial and human losses in different regions of the world and have devastating effects on the economic and social activities of human societies (Rahmati and Zand, 2018; Peng et al., 2014). In Iran, a lot of research has been done on the factors

affecting the occurrence of landslides. For example, Dastranj et al., (2021) used fuzzy membership functions to determine the slopes sensitive to the erosion of the northern and southern slopes of Binaloud. Accordingly, the ROC curve and the distribution map of landslides, the results of their study showed that the gamma operators of 0.8 and 0.9 perform the best in landslide susceptibility modeling and zoning. Pourfrashzadeh and Asghari (2022) conducted research under the title of evaluation and zoning of

*Corresponding Author.

Email Adresses: m.zarei@hsu.ac.ir (M. Zarei), hadismoradi222@gmail.com (H. Moradi), s.h.alavinia@kashanu.ac.ir (SH. Aalavina), ka.aliabadi@hsu.ac.ir (K. Aliabadi)

To cite this article:

Zarei, M., Moradi, H., Alavinia, S.H., Aliabadi, K. (2023), Landslide risk assessment and zoning in Bionij watershed, Kermanshah province. Journal of Geographical Studies of Mountainous Areas, 4(13), 169-188



Doi:10.52547/gsma.4.1.169

landslide occurrence and preparation of risk probability map using statistical methods and applying 12 factors in the Balikhi watershed. The results showed that the conditions of occurrence of landslides at altitudes of 2400 to 2800 meters, slope above 40 degrees, north slope direction, concave lands, high unevenness, loose and low-resistance sediments, rainfall of 500 to 550 mm, average vegetation cover index (0.35% to 0.55%), distance less than 500 meters from faults, less than 200 meters from rivers, and 600 to 1000 meters from roads are more susceptible than other places.

2. Methodology

In this study, for the purpose of landslide zoning, the weighting of the effective factors in the occurrence of landslides was carried out based on the statistical analysis model of LIM (Landslide Index Method) in the ArcGIS software. In the LIM method, weighting is done based on the density of each of the layers at the points affected by the landslide in the region. In this way, the final weight of each layer in this model is calculated based on the logarithm of the density ratio of each unit to the sliding density in the entire area. In this model, the slip density in each unit is obtained based on the ratio of the frequency of slipped pixels in each unit to the total frequency of pixels in the unit. In the same way, the density of landslides in the whole area is calculated from the ratio of the frequency of landslide pixels in the entire basin to the frequency of pixels in the entire area. Then, the natural logarithm of the ratio between the landslide density in each unit and the landslide density in the entire basin is used to calculate the final weight of each unit. Therefore, the final weight ratio of each of the units in the landslide of the entire area is calculated and the descriptive information is taken into account for each of the factor maps, finally, 11 weight layers are obtained for landslide zoning. The more the weight of the units tends to the positive side, it indicates its more effective role in sliding.

3. Results

Based on the results of the factor layer of height above the sea level, it is clear that the fourth height layer (1606-1913) and then the third layer (1364-1606) have the highest frequency of landslides.

Therefore, it can be concluded that there is no uniform order in the occurrence of landslides in the studied area with the increase or decrease in height from the sea level. It should also be stated that the northern slopes, which are exposed to light for a shorter period of time, have the highest frequency of sliding per unit, and the southwestern slopes have the lowest frequency. The amount of rainfall has an effective role in the absorption of moisture by soil rock, on the other hand, the movement of materials on the slope depends on the amount of water received by the slope materials. Based on the results of investigating the condition of the active layer of vegetation, the classes with low and medium vegetation have the highest and lowest frequency of slip per unit, respectively. Also, the investigation of the hydrological condition of the soil in the area showed that landslides in the studied area only occurred in the soil layer with high permeability. Regarding the last investigated variable and its relationship with the occurrence of landslides in the studied area, it was found that the highest frequency of occurrences of landslides occurred in the land use of rainfed agriculture.

4. Discussion

The effect of 11 factors of height above sea level, slope, slope direction, drainage density, distance from the road, lithology, distance from the fault, vegetation cover, land use, annual rainfall, and soil hydrology were investigated. Based on the results, the 3rd and 4th elevation classes of the study area showed the highest frequency and the 2nd and 5th floor showed the lowest frequency of landslides. Examining the occurrence of landslides in different directions of the slope of the area shows that the northern slope direction has the highest density of landslides per unit (0.039). the results of the distance from the river and its effect on landslides in the study area indicate the existence of the highest frequency of landslides in the first layer and the lowest frequency in the last layer as the distance from the river.

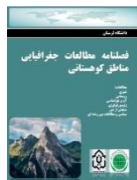
5. Conclusion

Based on the landslide zoning results, about 34% of the study area is in the range of high to very high risk of landslide occurrence, and about 18% of the area is in the range of very low potential. A very

important issue that we found in this research is the role of human manipulation in the studied area, which is the change of land use by humans to agricultural land and finally, the change of the slope of the slopes leads to the occurrence of landslides and They are intensifying in the region.

Acknowledgments

The authors appreciate the IRIMO and Geological Survey for providing the observational data.



ارزیابی و پنهان‌بندی خطر وقوع زمین‌لغزش در حوزه آبخیز بیونیز، استان کرمانشاه

مهدی زارعی^{۱*}؛ حدیث مرادی^۲؛ سید حسن علوی‌نیا^۳؛ کاظم علی‌آبادی^۴

^۱ استادیار، گروه پژوهشی جغرافیا، مرکز پژوهشی علوم جغرافیایی و مطالعات اجتماعی، دانشگاه حکیم سبزواری، سبزوار، ایران.

^۲ دانش آموخته، گروه رئومفرولوژی، دانشکده جغرافیا و علوم محیطی، دانشگاه حکیم سبزواری، سبزوار، ایران.

^۳ استادیار، گروه آبخیزداری، دانشکده منابع طبیعی و علوم زمین، دانشگاه کاشان، کاشان، ایران.

^۴ مری، گروه پژوهشی جغرافیا، مرکز پژوهشی علوم جغرافیایی و مطالعات اجتماعی، دانشگاه حکیم سبزواری، سبزوار، ایران.

اطلاعات مقاله

چکیده

زمین‌لغزش به عنوان یکی از مخاطرات طبیعی عمدۀ در مناطق کوهستانی محسوب می‌شود. شناسایی عوامل موثر در وقوع زمین‌لغزش در یک حوضه و پنهان‌بندی خطر آن از ابزارهای اساسی جهت دستیابی به راهکارهای کنترل این پدیده و انتخاب مناسب‌ترین و کاربردی ترین گزینه مدیریتی می‌باشد. تحقیق حاضر به منظور ارزیابی عوامل موثر در وقوع زمین‌لغزش و پنهان‌بندی آن با استفاده از مدل LIM هدف‌گذاری شده است. بدین منظور پس از بدست آوردن وزن هر یک از نقشه‌های عاملی و ستون وزن هر یک از واحد‌ها (شامل: طبقات ارتفاعی، شیب، جهت شیب، تراکم زهکشی، فاصله از رودخانه، فاصله از جاده، واحدهای سنگ شناسی، فاصله از گسل، پوشش گیاهی، کاربری اراضی، بارش سالانه و گروه های هیدرولوژیک خاک‌ها) با استفاده از مدل LIM از جمع جبری ۱۱ لایه عاملی، نقشه وزن نهایی و پنهان‌بندی زمین‌لغزش به دست آمد. بر اساس نتایج حدود ۳۴ درصد منطقه در محدود خطر زیاد تا خیلی زیاد، حدود ۴۱ درصد منطقه در محدوده پتانسیل کم تا خیلی کم خطر و مابقی منطقه در محدوده با پتانسیل متوسط وقوع زمین‌لغزش واقع شده‌اند. نتایج مقادیر بیشینه وزن نهایی متغیرهای مختلف نشان داد که متغیرهای شیب، فاصله از جاده، کاربری اراضی، پوشش گیاهی، ارتفاع، سنگ‌شناسی، فاصله از رودخانه، بارندگی، گروه هیدرولوژیکی خاک، جهت شیب و فاصله از گسل به ترتیب بیشترین تا کمترین تأثیرگذاری بر وقوع زمین‌لغزش‌های منطقه را دارا می‌باشند. به طور کلی نتایج تحقیق می‌تواند اطلاعات مفیدی در اختیار برنامه‌ریزان بخش‌های مختلف اعم از کشاورزی، صنایع، محیط زیست و... قرار دهد.

نویسنده مسئول:

پست الکترونیک نویسندهای: s.h.alavinia@kashanu.ac.ir (م، زارعی)؛ hadismoradi222@gmail.com (ح، مرادی)؛ m.zarei@hsu.ac.ir (س.ح، علوی نیا).
(ک، علی‌آبادی): ka.aliabadi@hsu.ac.ir

زارعی، مهدی، مرادی، حدیث، علوی نیا، سیدحسن، علی‌آبادی، کاظم(۱۴۰۲) ارزیابی و پنهان‌بندی خطر وقوع زمین‌لغزش در حوزه آبخیز بیونیز، استان کرمانشاه. فصلنامه مطالعات جغرافیایی مناطق کوهستانی، سال چهارم، شماره اول (پیاپی ۱۳)، بهار ۱۴۰۲



Doi:10.52547/gsma.4.1.169

۱. مقدمه

معناداری بین گسیختگی‌های بزرگ روی تراسهای رها شده و جنگلهای تخربی یافته وجود دارد. برآورد آنها نشان داد که بیشترین میزان فرسایش خاک ناشی از لغزش مربوط به جنگلهای *Gerrard and Gardner*, (تخریب شده و زمین‌های رها شده است) (2002: 48). در مطالعه‌ای با استفاده از داده‌های بارشی و باررسوبی روزانه در حوضه آنابورنای نیال به اثرات بارش و ویژگی‌های شب دامنه در شروع زمین‌لغزشها در دوره بارشهای موسمی پرداخته شد. نتایج نشان داد که هر زمان طی دوره بارشهای موسمی آستانه بارش به بیش از ۸۶۰ میلی‌متر بررسد، حرکات لغزشی به وقوع خواهد پیوست (Gabet et al., 2004: 131). یانگ و همکاران. در پژوهشی به پهنه‌بندی منطقه‌ای زمین‌لغزش با استفاده از مدل آنتروپی در گورجس چین پرداخته و نشان دادند که مدل مذکور کاربرد زیادی به عنوان یک روش جدید برای ارزیابی خطر زمین لغزش در مقیاس منطقه‌ای دارد (Yang et al., 2010: 1). سو و همکاران در مطالعه‌ای به بررسی یک مدل پهنه‌بندی در منطقه‌ای در چین با اتخاذ روش اعتبارسنجی متقابل پنج لایه‌ای پرداختند. آنها از ۱۵ عامل برای شاخص‌های ارزیابی حساسیت پذیری سه مدل ماشین یادگیری شامل جنگل تصادفی، ماشین بردار پشتیبان و درخت تصمیم‌گیری استفاده کردند. نتایج آنها نشان داد که دقت پیش‌بینی این سه مدل از ۸۳/۴۹ درصد تا ۹۹/۲۹ درصد در مرحله آموزش تا ۶۲/۲۶ درصد تا ۷۳/۵۸ درصد در مرحله اعتبارسنجی متغیر است. یافته‌ها نشان داد که مدل درخت تصمیم‌گیری دارای راندمان پیش‌بینی بهتری نسبت به جنگل تصادفی و ماشین بردار پشتیبان می‌باشد (Suet al, 2021: 237).

در ایران نیز تحقیقات زیادی روی عوامل مؤثر بر وقوع زمین‌لغزش انجام شده برای نمونه طلایی دولق و غیومیان طی بررسی عوامل مؤثر در لغزش خیزی روستاهای جنوب غرب خلخال به این نتیجه دست یافتند که حضور رس در سازندهای حساس منطقه با جذب آب و بر اثر خاصیت تورم و خمیری به عنوان یکی از عوامل اصلی حرکات دامنه‌ای است (*Talaei Dolagh and Ghayomian*,)

زمین‌لغزش از انواع حرکات توده‌ای است که در اثر آن مواد در امتداد سطحی مشخص روی دامنه به سمت پایین جریان می‌یابند (Zazuli et al, 2020: 617). وقوع فرساش‌های توده‌ای من جمله زمین‌لغزش منجر به ایجاد خسارات مالی و جانی در مناطق مختلف جهان شده و اثرات مخربی بر وضعیت فعالیت‌های اقتصادی و اجتماعی جوامع انسانی می‌گذارد (Rahmati and Zand, 2018: 1). مناطق کوهستانی به دلیل شرایط شکل، موقعیت، شرایط توپوگرافی و اقلیمی خود تحت تأثیر فرآیندهای مختلف درونی و بیرونی قرار داشته و دچار تغییرات مورفو‌لولژیکی فراوانی می‌شوند (Rajabi et al, 2022: 2). زمین‌لغزش به عنوان مخرب‌ترین خطر زمین‌شناسی در مناطق کوهستانی Pan et al, 2008: 187; Girma et al, 2015: 25; Hamza and Raghuvanshi, 2017: 151; Mengistu et al, 2019: 1) به منظور ارزیابی حساسیت زمین‌لغزش و پهنه‌بندی خطر آن تکیکهای مختلفی همچون روش‌های آماری، روش‌های قطعی، روش‌های احتمالی فهرست‌بندی زمین‌لغزش‌ها و Corominas et al, 2014: 211; Raghuvanshi et al, 2014: 236; Raghuvanshi and Negassa, 2015: 153; Reichenbach et al, 2015: 64) مطالعات زیادی در زمینه بررسی خطر وقوع زمین‌لغزش در مناطق مختلف دنیا انجام شده است. مطالعه دینامیک حرکات توده‌ای ناشی از بارش سنگین در ناحیه داغوی ترکیه در غرب دریای سیاه به انجام شد. تحلیل داده‌های بارش برای دوره‌های طولانی و کوتاه روزانه و ساعتی به وضوح دلالت بر این دارد که بارش سنگین در زمین‌لغزش به عنوان یک عامل محرك نقش دارد، سپس پارامترهایی چون توپوگرافی، شب لایه‌بندی مارن، تراکم زیاد درختان و افق خاک ضخیم بر روی زمین مارنی، نقش موثری در وقوع انواع زمین‌لغزش‌ها داشته‌اند (Ocakoglu et al., 2001: 329). نتایج بررسی ارتباط بین زمین‌لغزش و تغییر کاربری اراضی حوضه زهکشی لیخوکولا در تپه ماهورهای میانی نیال حاکی از وقوع ۳۸۱ مورد زمین‌لغزش بوده که غالباً به شکل گسیختگی در تراسهای آبیاری شده بود. بیشترین

زیاری و همکاران

عوامل موثر در کاهش و افزایش تنش برشی فاکتورهای مؤثر دیگر *et al.* در زمین لغزش منطقه مورد مطالعه محسوب می‌شوند (*Moghimi 2008: 53*).

(۲۰۱۳) عابدینی و تمیمی با استفاده از روش LIM اقدام به تهیه نقشه خطر زمین لغزش در منطقه علی‌آباد خلخال کردند. در این مطالعه از ۱۱ فاکتور برای تهیه نقشه خطر استفاده شده و بر اساس نتایج ۹ درصد از منطقه دارای خطر زیاد و ۱۶/۲۰ درصد از منطقه دارای خطر بسیار زیاد تشخیص داده شد (*Abedini and Tamimi, 2013; 130*). مددی و همکاران اقدام به ارزیابی خطر زمین لغزش و پهنه‌بندی آن با استفاده از مدل LIM در حوضه آبخیز گیوی‌چای اردبیل کرده و از ۱۱ عامل برای پهنه‌بندی خطر زمین لغزش استفاده نمودند طبق نتایج مناطق با بارش ۴۰۵-۳۷۵ میلی‌متر در سال، طبقات ارتفاعی بین ۱۵۱۲-۱۹۲۷ متر از سطح دریا، مناطق با پوشش گیاهی کم، مناطق با نفوذپذیری زیاد خاک، دامنه‌های رو به شرق و شمال شرق حوضه به ترتیب بیشترین تأثیر را در وقوع زمین لغزش منطقه داشته‌اند (*Madadi et al, 2013: 307*). عابدینی و تمیمی احتمال خطر زمین لغزش‌های منطقه گلستان شهرستان خلخال را با استفاده از مدل LIM و بکارگیری ۱۲ پارامتر بررسی نمودند. بر اساس نتایج به ترتیب ۹۱ درصد از مساحت جنگل و ۵۱ درصد از مساحت مرتع با احتمال خطر زیاد روبرو است که دلیل اصلی آن را هم گسل و شبیه زیاد تشخیص دادند (*Abedini and Tamimi, 2014: 215*).

(۲۰۱۵)، روستایی و همکاران در مطالعه دیگری به بررسی خطر وقوع زمین لغزش در حوضه آبریز رودخانه میمه با روش تحلیل شبکه پرداخته و نشان دادند بارندگی و لیتوژوئی بیشترین تأثیر را در میان هشت فاکتور موثر در وقوع زمین لغزش‌ها داشته‌اند. همچنین بیشترین زمین لغزش‌ها در شبیه‌های جنوبی و جنوب غربی در ارتفاع ۱۶۰۰ تا ۲۳۰۰ متر که تحت تأثیر پوشش تشکیلات سراواک و ایلام به وقوع پیوسته است (*Roostaei et al, 2015: 101*).

دسترنج و همکاران با استفاده از توابع عضویت فازی به تعیین دامنه‌های حساس به فرسایش دامنه‌های شمالی و جنوبی بینالود

فصلنامه مطالعات جغرافیایی مناطق کوهستانی، سال چهارم، شماره اول (پیاپی ۱۳)، بهار ۱۴۰۲

(۲۰۰۲: 129). مهرنہاد نقش زمین ساخت جنبا در ایجاد زمین لغزش‌های منطقه مهاباد را مورد بررسی قرار داد و نتیجه گرفت که وجود گسل‌های لرزه‌زا و جوان در شرق دشت مهاباد و گسل دهبنان در غرب آن حاکی از زمین ساخت جنبا منطقه می‌باشد و زمین لغزش‌های مورد مطالعه را می‌توان نتیجه عملکرد گسل‌های فوق و زلزله‌های حاصل از حرکات آنها به شمار آورد (*Mehrnahad, 2000: 267*). مسگری‌وش و همکاران طی بررسی عوامل موثر در وقوع زمین لغزش محمود‌آباد مسکون، یافتند که تراکم زمین لغزش‌ها در سنگ‌های تکتونیزه و به شدت هوایزده با کانیهای سولفیدی بوده و بدین لحاظ نقش اساسی در رویکرد زمین لغزش ایفا نموده است و تغییرات ساختاری نظیر احداث ترانشه جاده کرمان - جیرفت، خاکریزی مصنوعی، احداث کanal آبیاری در دامنه، آبهای نفوذی جوی و ناشی از کanal آب و ایجاد لرزه‌های طبیعی و مصنوعی به عنوان عوامل ماسه‌ای در وقوع زمین لغزش عمل کرده‌اند (*Mesgarivash et al, 2002: 177*). خضری و همکاران ناپایداری دامنه‌ای در بخش مرکزی حوضه زاب را با استفاده از تحلیل سلوکی بررسی و نشان دادند که مناطق ناپایدار بر شبیه‌های تند و دامنه‌ای با شکل مقعر بر روی آبرفت‌ها و مواد پر شده نامقاوم در جوار گسل اصلی پیرانشهر بیشتر در کوهستان غربی و دامنه‌های پشت به آفاب با پوشش غیر جنگلی گسترش دارند. مناطق پایدار بر اساس نقشه خطرپذیری در شبیه‌های کم و سرزمین‌های هموار با پوشش جنگلی و بیشه‌زار در دامنه‌های منظم کم شبیه با جنس مقاوم از جمله آهک بلوری و مرمری هستند (*Khezri et al, 2006: 49*).

عوامل موثر در وقوع زمین لغزش‌های دامنه‌های شمالی آلاذاع در استان خراسان شمالی توسط مقیمی و همکاران مورد بررسی قرار گرفت. طبق نتایج وجود لایه‌های غیر قابل نفوذ رسی، مارنی و تبعیری و سیمان انحلال‌پذیر کربناته در سازند شوریجه منطقه مورد مطالعه عامل اساسی در لغزه‌خیزی می‌باشد. لایه‌های آبدار زیرزمینی، افزایش وزن ناشی از رشد درختان تومند در باغات، زیر بری دامنه توسط رودخانه چناران و نقاط با برف ماندگار در قالب

1. Landslide Index Method

پورفراش زاده و اصغری انجام شد. نتایج نشان داد شرایط وقوع زمین‌لغزش‌ها در ارتفاعات ۲۴۰۰ تا ۲۸۰۰ متر، شیب بالای ۴۰ درجه، جهت شیب شمالی، زمین‌های مقعر، ناهمواری بالا، رسوبات سست و کم مقاوم، بارندگی‌های ۵۰۰ تا ۵۵۰ میلی‌متر، شاخص پوشش گیاهی متوسط (۰/۳۵-۰/۵۵)، فاصله کمتر از ۵۰۰ متری گسل‌ها، فاصله کمتر از ۲۰۰ متری رودها، و فاصله ۶۰۰ تا ۱۰۰۰ متری از جاده‌ها، بیشتر از سایر جاها مهیاست. نقشه پهنه‌بندی حساسیت زمین‌لغزش نشان داد که ۵۶ درصد حوضه در طبقات با حساسیت بالا و خیلی بالا واقع شده و نشانگر پتانسیل قابل توجه Pourffarash zadeh (and Asgari, 2021: 41). زمین‌لغزش به عنوان یکی از مخاطرات طبیعی عمدۀ در مناطق کوهستانی محسوب می‌شود. حوضه بیونیز نیز با داشتن چهره کوهستانی و مرتفع و شرایط طبیعی مختلف پتانسیل‌های بالقوه برای ایجاد زمین‌لغزش را دارا می‌باشد، این امر می‌تواند شهرها، روستاهای تأسیسات، مراتع و غیره را تهدید و خسارات زیادی به بار آورد. بنابراین تحقیق حاضر به منظور ارزیابی خطر وقوع زمین‌لغزش و پهنه‌بندی آن در حوضه مذکور با استفاده از روش LIM و بکارگیری ۱۱ عامل مؤثر در وقوع زمین‌لغزش هدف‌گذاری شده است.

استفاده در این مطالعه شامل نقشه‌های توپوگرافی ۱:۵۰۰۰۰، زمین‌شناسی ۱:۱۰۰۰۰، خاک، پوشش گیاهی و کاربری اراضی منطقه، مدل رقومی ارتفاع و تصاویر گوگل ارث (۲۰۱۹) بود. در روش LIM، وزن‌دهی بر اساس تراکم هر کدام از لایه‌ها در نقاط تحت تأثیر لغزش در منطقه انجام می‌گیرد. بدین صورت که وزن نهایی هر لایه در این مدل بر اساس لگاریتم نسبت تراکم هر یک از واحدها به تراکم لغزش در کل منطقه محاسبه می‌گردد. در این روش متغیرهای کمی و کیفی زیادی برای پهنه‌بندی زمین‌لغزش در نظر گرفته می‌شوند و میتوان متغیرهای کیفی را به کمی

پرداختند. نتایج مطالعه آنها با توجه به نتایج منحنی ROC و نقشه پراکنش زمین‌لغزش‌ها نشان داد عملکردهای گام‌های ۰، ۸ و ۰، ۹ بهترین عملکرد را در مدل‌سازی و پهنه‌بندی حساسیت زمین‌لغزش انجام می‌دهند (Dastranj et al, 2021: 12). در پژوهشی دیگر مناطق مستعد زمین‌لغزش در محدوده سد شهید عباسپور پهنه‌بندی گردید. در این مطالعه از دو روش حائری-سمیعی و تحلیل سلسله مراتبی برای بررسی هفت عامل سنگ‌شناسی، زاویه شیب، طول گسل، طول راه و رودخانه، عامل بارندگی، شدت بارندگی و زمین لرزه استفاده شد. نتایج نشان داد در هر دو روش مذکور بیشترین مناطق حساس به لغزش در آبرفت‌های جوان کواترنری است و مهمترین عامل، سنگ‌شناسی است (Majd bavi and Moemeni pour, 2021: 65) در حوزه الموت رود با استفاده از روش رگرسیون لجستیک با هشت عامل موثر شیب، جهت شیب، ارتفاع از سطح دریا، فاصله از رودخانه، کاربری اراضی، لیتولوژی، فاصله از گسل و تراکم شبکه زهکشی مشخص شد که ۵۶/۲۶ درصد از مساحت حوزه در محدوده ریسک بسیار کم و کم و ۱۷/۴۴ درصد در محدوده خطر زیاد و بسیار زیاد قرار دارند (Rajabi et al, 2022: 2). ارزیابی و پهنه‌بندی وقوع زمین‌لغزش و تهیه نقشه احتمال خطر با استفاده از روش آماری و بکارگیری ۱۲ فاکتور در حوضه آبخیز بالیخی توسط

۲. روش تحقیق

پژوهش حاضر نوعی تحقیق کاربردی بوده که از دیدگاه روش مورد استفاده مطالعه‌ای توصیفی- تحلیلی محسوب می‌شود. در این مطالعه به منظور پهنه‌بندی زمین‌لغزش، وزن‌دهی به عوامل مؤثر در وقوع زمین‌لغزش بر مبنای مدل تحلیل آماری LIM (روش شاخص زمین‌لغزش) در محیط نرم‌افزار ArcGIS انجام شد. این مدل نخستین بار در موسسه ITC کشور هلند به منظور پهنه‌بندی زمین‌لغزش ناحیه چین چینا در کلمبیا مورد استفاده قرار گرفته است. در این مدل مقادیر وزنی معمول ادامه‌ای بین اعداد مثبت و منفی دارند که به ترتیب بیانگر نقش بیشتر و کمتر متغیرهای مورد بررسی هستند (Van Westen, 1995, 82). منابع کتابخانه‌ای و اطلاعات مورد

نسبت وزن نهایی هر یک از واحدها در لغزش کل منطقه محاسبه شده و اطلاعات توصیفی برای هر یک از نقشه‌های عاملی لحاظ می‌گردد و در نهایت ۱۱ لایه وزنی برای زونبندی زمین لغزش به دست می‌آید. هر چه وزن واحدها به طرف مثبت میل کنند نشانده‌نده نقش موثرتر آن در لغزش می‌باشد. از جمع جبری تمام نقشه‌ها (شیب(slop)، زمین شناسی(geo)، طبقات ارتفاعی(Dem) و نقشه‌ها (شیب(slop)، زمین شناسی(geo)، طبقات ارتفاعی(Dem) و ...، نقشه وزن‌دهی نهایی حاصل می‌گردد (Madadi et al, 2013).

شكل (۱) نقشه پراکنش زمین لغزش‌های منطقه مورد مطالعه و عوامل مؤثر در وقوع زمین لغزش همچون طبقات ارتفاعی، جهت شیب، شیب، تراکم زهکشی، فاصله از جاده، واحدهای سنگ شناسی، فاصله از گسل، نقشه پوشش گیاهی و کاربری اراضی منطقه مورد مطالعه نمایش داده شده است. به منظور تهیه لایه های هم‌بارش حوضه از طریق ضریب همبستگی در محیط GIS اقدام به بررسی آمار سالانه ایستگاههای باران سنجی اعم از سینوپتیک، کلیماتولوژی حوضه و ایستگاههای مجاور شد. برای تهیه لایه اطلاعاتی گروههای هیدرولوژیک خاک، پس از نمونه‌برداری، در آزمایشگاه خاکشناسی دانشگاه سبزوار چگونگی و مقدار نفوذ آب در خاک مشخص شد. بر اساس این آزمایش مشخص گردید که خاک‌های حوضه از نظر نفوذپذیری به سه نوع خاک‌های با نفوذپذیری کم، متوسط و زیاد تقسیم شده‌اند.

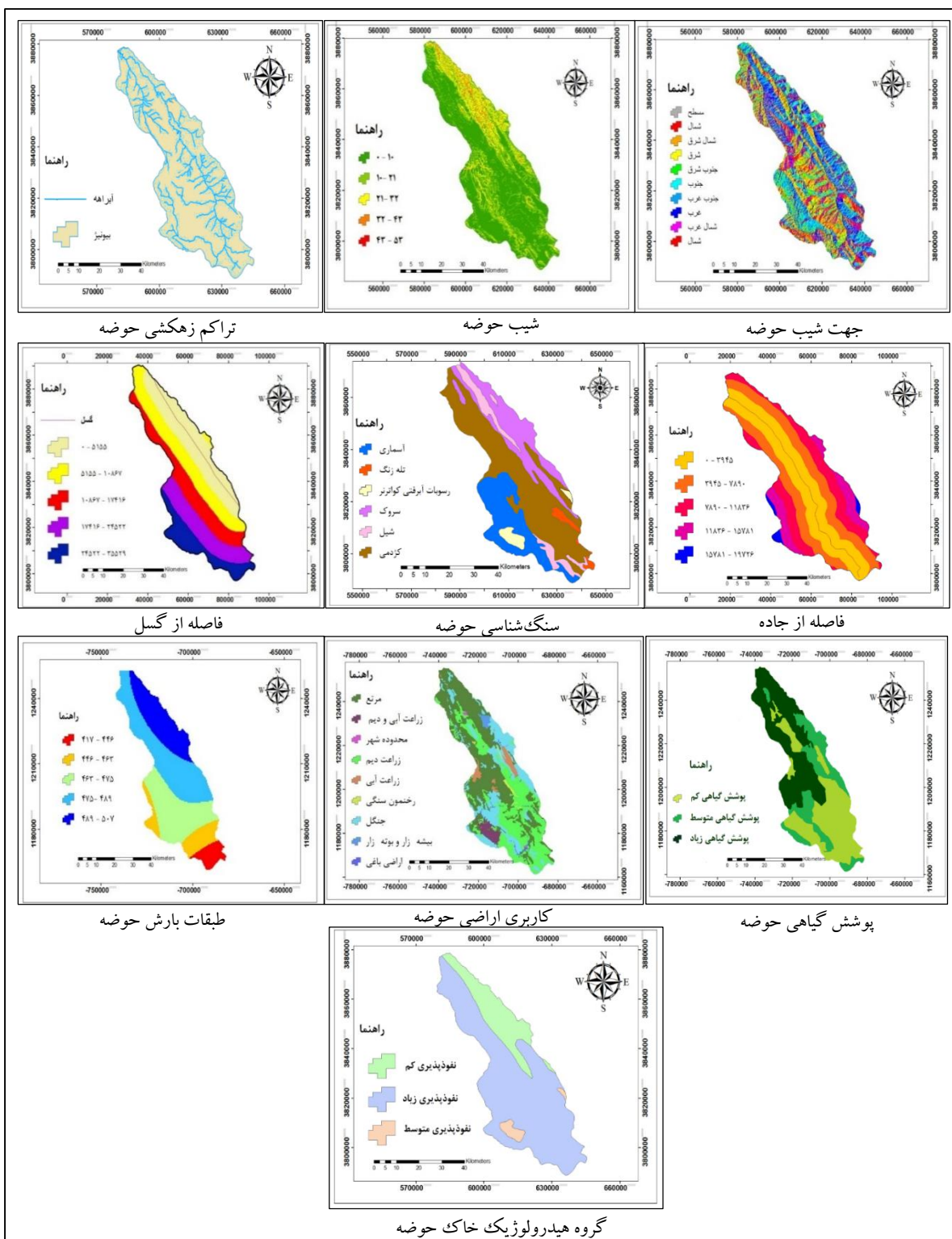
تبديل نمود. مدل LIM بر اساس رابطه زیر می‌باشد (Van Westen, 1995, 2)

$$\text{LnW} = \text{Ln} \left[\frac{\text{Densclas}}{\text{Densmap}} \right] = \text{Ln} \left[\frac{\frac{NPix(Si)}{NPix(Ni)}}{\frac{\sum NPix(Si)}{\sum NPix(Ni)}} \right] \quad (1)$$

که در آن W وزن هر یک از واحدهای لایه عاملی بر اساس پیکسل = تراکم لغزش در هر واحد از لایه عاملی بر اساس Densclas پیکسل

Densmap = تراکم لغزش در کل حوضه بر اساس پیکسل
Npix (Si) = فراوانی لغزش در هر یک از واحدهای لایه عاملی و فراوانی کل لغزش بر اساس پیکسل
Npix (Ni) = فراوانی کل هر واحد از لایه عاملی و فراوانی کل حوضه بر اساس پیکسل است.

در این مدل بر اساس نسبت فراوانی پیکسل‌های لغزش یافته در هر واحد به فراوانی کل پیکسل‌های واحد، تراکم لغزش در هر واحد به دست می‌آید. به همین ترتیب از نسبت فراوانی پیکسل‌های لغزش یافته در کل حوضه به فراوانی پیکسل‌های کل حوزه تراکم لغزش در کل منطقه محاسبه می‌گردد. سپس از لگاریتم طبیعی نسبت بین تراکم لغزش در هر واحد به تراکم لغزش در کل حوضه به منظور محاسبه وزن نهایی هر واحد استفاده می‌گردد. بنابراین



شکل ۲. نقشه پراکنش زمین‌لغزش‌های موجود در حوضه و فاکتورهای مؤثر در موقعیت زمین‌لغزش، منبع نگارندگان، ۱۴۰۱

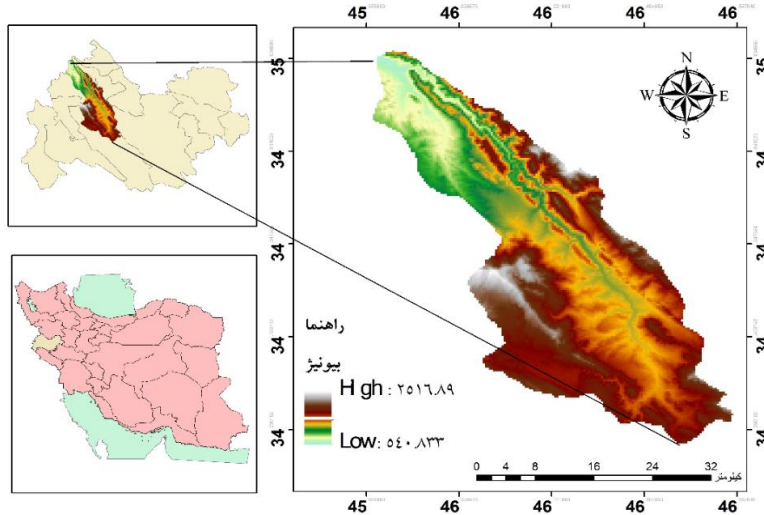
۱.۲. معرفی محدوده مورد مطالعه

منطقه مورد مطالعه با وسعتی معادل ۲۳۱۹ کیلومتر مربع در بخش غربی کشور و در موقعیت جغرافیایی ۳۴ دقيقه و ۱۳ درجه تا ۴۶ درجه و ۳۵ دقیقه و ۲ درجه عرض شمالی و ۴۶ دقیقه و ۴ درجه تا ۶۰ درجه و ۲۷ دقیقه طول شرقی قرار گرفته است. حوضه آبخیز بیونیز از بخش

منطقه مورد مطالعه با وسعتی معادل ۲۳۱۹ کیلومتر مربع در بخش غربی کشور و در موقعیت جغرافیایی ۳۴ دقيقه و ۱۳ درجه تا

دالاهو می باشد و پست ترین محل با ارتفاع مطلق ۵۱۸ متر از سطح دریا مربوط به شمال شرق منطقه مورد مطالعه و مربوط به مصب رودخانه بیونیز در قسمت ثلث باباجانی است. حضور کوهها و تپه ها در بخش های وسیعی از اراضی حوضه آبخیز بیونیز موجب افزایش شیب و میزان پستی و بلندی اراضی گردیده است.

شمال شرقی به حوزه آبریز جوانرود، از قسمت غرب به حوضه های آبریز از گله و ذهاب، از قسمت جنوب به حوضه های آبریز اسلام آباد و کرند، از قسمت شرق به حوضه آبریز روانسر محدود می گردد (شکل ۲). مرتفع ترین نقطه ارتفاعی به ارتفاع ۲۵۴۷ متر از سطح دریا در بخش غربی منطقه مورد مطالعه و مربوط به کوه های



شکل ۲. موقعیت جغرافیایی محدوده مورد مطالعه، منبع: نگارندگان، ۱۴۰۱

۱۰ بیشترین تراکم لغزش را به خود اختصاص داده و مناطق با شیب بالای حوضه (طبقات چهارم و پنجم) کمترین تراکم لغزش در واحد را دارا می باشد. از آنجا که لازمه حرکت توده ای وجود خاک می باشد در طبقات شیب بالا حوضه که حداقل مساحت حوضه را دارا بوده و غالبا سنگی می باشند فراوانی زمین لغزش صفر می باشد. نگاهی به طبقات شش گانه توپوگرافی مؤثر بر زمین لغزش نشان می دهد دامنه های شمالی که مدت زمان کمتری در معرض نور قرار می گیرند بیشترین فراوانی لغزش در واحد و دامنه های جنوب غربی کمترین فراوانی را دارا می باشند (جدول ۳).

۳. یافته های پژوهش

خصوصیات توپوگرافی در مناطق مختلف بر وقوع زمین لغزش تأثیرگذار می باشد. در این میان بر اساس نتایج حاصل از لایه عاملی ارتفاع از سطح دریا (جدول ۱) مشخص می گردد که طبقه ارتفاعی چهارم (۱۶۰۶-۱۹۱۳) و پس از آن طبقه سوم (۱۶۰۶-۱۳۶۴) بیشترین فراوانی وقوع لغزش را به خود اختصاص داده اند. بنابراین می توان نتیجه گرفت نظم یکنواختی در وقوع زمین لغزش های منطقه مورد مطالعه با افزایش یا کاهش ارتفاع از سطح دریا وجود ندارد. مقادیر فراوانی لغزش در واحد در طبقات شیب مختلف در حوضه مورد مطالعه (جدول ۲) نشان می دهد طبقه شیب بین صفر تا

جدول ۱. وزن لایه عاملی ارتفاع حوضه آبخیز بیونیز

طبقات ارتفاعی دچار لغزش	فرآوانی کل لغزش در حوضه	تراکم لغزش در کل حوضه	فرآوانی کل در واحد	فراوانی کل در واحد	وزن نهایی واحدها
-۱/۵۶۸	۰/۰۱۶	۲۲۴۰۰	۱۳۸۶۹۵۸	۰/۰۷۷۵	۴۲۵۹۸۱۶

.	.	.	۱۴۱۰۶۴۹۸	۰/۰۷۷۵	۴۲۵۹۸۱۶	۵۴۹۵۴۸۱۴	۱۰۶۶-۱۳۶۴
۰/۳۷۹	۰/۱۱۳	۱۵۶۹۴۰۰	۱۳۸۵۴۴۶۴	۰/۰۷۷۵	۴۲۵۹۸۱۶	۵۴۹۵۴۸۱۴	۱۳۶۴-۱۶۰۶
۰/۸۹۹	۰/۱۹	۲۴۶۵۸۱۶	۱۲۹۳۹۲۳۹	۰/۰۷۷۵	۴۲۵۹۸۱۶	۵۴۹۵۴۸۱۴	۱۶۰۶-۱۹۱۳
.	.	.	۱۲۳۹۹۲۳۵	۰/۰۷۷۵	۴۲۵۹۸۱۶	۵۴۹۵۴۸۱۴	۱۶۰۶-۱۹۱۳

منبع: نگارندگان، ۱۴۰۱

جدول ۲. وزن لایه عاملی شب حوضه آبخیز بیونیز

لغش	حوضه	فراوانی کل	فراوانی کل لغش	فراوانی کل	فراوانی کل لغش	فراوانی کل	وزن نهایی واحدها	تراکم لغش در واحد	فراوانی کل لغش در واحد	فراوانی کل	وزن نهایی واحدها	تراکم لغش در واحد
۰-۱۰	۵۴۹۵۴۸۱۴	۴۲۵۹۸۱۶	۹۹۵۳۹۲۷	۰/۰۷۷۵	۳۱۳۸۸۰۰	۰/۰۳۱۵	۱/۴۰۳					
۱۰-۲۱	۵۴۹۵۴۸۱۴	۴۲۵۹۸۱۶	۹۸۵۲۵۸۹	۰/۰۷۷۵	۸۹۶۸۰۰	۰/۰۹۱	۰/۱۶					
۲۱-۳۲	۵۴۹۵۴۸۱۴	۴۲۵۹۸۱۶	۹۸۰۷۳۶۴	۰/۰۷۷۵	۴۴۸۴۰۰	۰/۰۴۵	-۰/۵۲۷					
۳۲-۴۳	۵۴۹۵۴۸۱۴	۴۲۵۹۸۱۶	۹۷۷۸۲۶۰	۰/۰۷۷۵								
۴۳-۵۳	۵۴۹۵۴۸۱۴	۴۲۵۹۸۱۶	۹۷۶۹۵۰۳	۰/۰۷۷۵								

منبع: نگارندگان، ۱۴۰۱

جدول ۳. وزن لایه عاملی جهت شب حوضه آبخیز بیونیز

شمال غرب	غرب	جنوب غرب	جنوب شرق	شمال شرق	شمال	جهات شب	دچار لغش	فراوانی کل	فراوانی کل لغش در کل حوضه	تراکم لغش در کل حوضه	فراوانی کل	وزن نهایی واحدها	تراکم لغش در واحد
								۵۴۹۵۴۸۱۴	۴۲۵۹۸۱۶	۸۱۷۹۲۱۴	۳۲۱۰۵۹	۰/۰۳۹	۰/۰۶۸
								۵۴۹۵۴۸۱۴	۴۲۵۹۸۱۶	۸۹۱۷۰۳۱	۱۸۶۵۴۲	۰/۰۲۰	-۱/۳۰۹
								۵۴۹۵۴۸۱۴	۴۲۵۹۸۱۶	۹۱۸۵۴۸۳	۳۶۶۶۶۹	۰/۰۰۳	-۲/۹۶۶
								۵۴۹۵۴۸۱۴	۴۲۵۹۸۱۶	۹۱۴۹۵۹۰	۲۵۹۲۲۴	۰/۰۲۸	-۱/۰۰۶
								۵۴۹۵۴۸۱۴	۴۲۵۹۸۱۶	۸۱۶۱۱۶۱	۲۶۱۸۴۱	۰/۰۳۲	-۰/۸۸۲
								۵۴۹۵۴۸۱۴	۴۲۵۹۸۱۶	۹۱۴۱۶۸۳	۱۵۰۰۸	۰/۰۰۱	-۳/۸۵۴
								۵۴۹۵۴۸۱۴	۴۲۵۹۸۱۶	۹۳۵۵۲۰۸	۲۲۱۱۹	۰/۰۰۲	-۳/۴۴۵
								۵۴۹۵۴۸۱۴	۴۲۵۹۸۱۶	۹۲۰۵۸۱۴	۲۸۰۳۹۶	۰/۰۳	-۰/۹۳۴

منبع: نگارندگان، ۱۴۰۱

به طبقه دوم بارش کمتر بوده است (جدول ۴). بنابراین رابطه روشن و مشخصی میان میزان بارندگی و تراکم وقوع زمین-لغش در منطقه مورد مطالعه مشاهده نمی‌شود. بر اساس نتایج حاصل از بررسی وضعیت لایه عاملی پوشش گیاهی (جدول ۵) طبقات کلاس با پوشش گیاهی کم و متوسط به ترتیب بیشترین و کمترین فراوانی لغش در واحد را دارا می‌باشد. همچنین بررسی وضعیت هیدرولوژیک خاک منطقه نشان داد، لغش در منطقه مورد مطالعه تنها در طبقه خاک با نفوذپذیری بالا اتفاق افتاده است (جدول ۶). چرا که اگر نفوذپذیری

میزان بارندگی نقش مؤثری بر جذب رطوبت توسط سنگ خاک داشته از طرفی حرکت مواد روی دامنه به میزان آب دریافتی توسط مواد دامنه‌ای بستگی دارد. بررسی نقشه بارندگی حوضه و نتایج حاصل از وزن‌های به دست آمده برای عامل بارندگی در منطقه مورد مطالعه نشان می‌دهد که طبقه دوم بارش (۴۴۶-۴۶۳) بیشترین و طبقه اول (۴۱۷-۴۴۶) کمترین وزن نهایی را به خود اختصاص داده است. از طرفی طبقات سوم تا پنجم تقریباً به صورت یکنواخت در موقع زمین لغش منطقه تأثیرگذار بوده و تراکم زمین لغش در این طبقات نسبت

خاک زیاد باشد منجر به کاهش مقاومت برشی و افزایش تنفس
برشی مواد روی دامنه شده و سبب ناپایداری دامنه می‌گردد.

جدول ۴. وزن لایه عاملی بارش در حوضه آبخیز بیونیز

لاغزش (متر)	طبقات بارش دچار حوضه	فرآوانی کل لاغزش حوضه	فرآوانی کل لاغزش در حوضه	تراکم لاغزش در کل حوضه	فرآوانی کل در واحد	تراکم لاغزش در واحد	وزن نهایی واحدها در واحد	فرآوانی کل لاغزش در واحد	تراکم لاغزش در واحد	وزن نهایی واحدها
۴۴۶-۴۱۷	۵۴۹۵۴۸۱۴	۴۲۵۹۸۱۶	۰/۰۷۷۵	۱۰۸۸۰۸۹۱	۷۹۰۹۶۲	۰/۰۷۲	-۰/۰۶۴	۱۰۸۸۰۸۹۱	۷۹۰۹۶۲	۰/۰۷۲
۴۴۶-۴۶۳	۵۴۹۵۴۸۱۴	۴۲۵۹۸۱۶	۰/۰۷۷۵	۱۱۵۱۶۱۵۰	۱۴۹۰۵۴۱	۰/۱۲۹	۰/۵۱۲	۱۱۵۱۶۱۵۰	۱۴۹۰۵۴۱	۰/۱۲۹
۴۶۳-۴۷۵	۵۴۹۵۴۸۱۴	۴۲۵۹۸۱۶	۰/۰۷۷۵	۱۱۳۴۶۲۸۷	۱۰۷۵۹۴۳	۰/۰۹۴	۰/۲۰۱	۱۱۳۴۶۲۸۷	۱۰۷۵۹۴۳	۰/۰۹۴
۴۷۵-۴۸۹	۵۴۹۵۴۸۱۴	۴۲۵۹۸۱۶	۰/۰۷۷۵	۱۰۸۷۵۸۳۵	۱۰۹۸۷۳۵	۰/۱۰۱	۰/۲۶۴	۱۰۸۷۵۸۳۵	۱۰۹۸۷۳۵	۰/۱۰۱
۴۸۹-۵۰۷	۵۴۹۵۴۸۱۴	۴۲۵۹۸۱۶	۰/۰۷۷۵	۱۰۳۳۵۶۵۱	۱۰۰۱۶۷۲	۰/۰۹۶	۰/۲۲۳	۱۰۳۳۵۶۵۱	۱۰۰۱۶۷۲	۰/۰۹۶

منبع: نگارندگان، ۱۴۰۱

جدول ۵. وزن لایه عاملی پوشش گیاهی حوضه آبخیز بیونیز

پوشش زیاد	پوشش متوسط	پوشش کم												
دچار لاغزش	حوضه	فرآوانی کل لاغزش در حوضه	تراکم لاغزش در کل حوضه	فرآوانی کل در واحد	تراکم لاغزش در واحد	وزن نهایی واحدها	دچار لاغزش	حوضه	فرآوانی کل لاغزش در حوضه	تراکم لاغزش در کل حوضه	فرآوانی کل در واحد	تراکم لاغزش در واحد	وزن نهایی واحدها	
۵۴۹۵۴۸۱۴	۴۲۵۹۸۱۶	۵۴۹۵۴۸۱۴	۰/۰۷۷۵	۱۹۴۳۰۳۷۱	۴۱۳۸۹۱۲	۰/۲۱۳	۱/۰۱	۰/۰۷۷۵	۴۲۵۹۸۱۶	۵۴۹۵۴۸۱۴	۰/۰۷۷۵	۴۲۵۹۸۱۶	۵۴۹۵۴۸۱۴	۰/۰۷۷۵
۵۴۹۵۴۸۱۴	۴۲۵۹۸۱۶	۴۲۵۹۸۱۶	۰/۰۷۷۵	۱۸۸۶۰۰۰۳	۱۲۱۶۵۴	۰/۰۰۶	-۲/۴۸۶	۰/۰۷۷۵	۴۲۵۹۸۱۶	۵۴۹۵۴۸۱۴	۰/۰۷۷۵	۴۲۵۹۸۱۶	۵۴۹۵۴۸۱۴	۰/۰۷۷۵

منبع: نگارندگان، ۱۴۰۱

جدول ۶. وزن لایه عاملی گروه هیدرولوژیکی خاک حوضه

نفوذپذیری کم	نفوذپذیری متوسط	نفوذپذیری زیاد												
خاک	فرآوانی کل حوضه	تراکم لاغزش در حوضه	فرآوانی کل در واحد	تراکم لاغزش در واحد	فرآوانی کل حوضه	تراکم لاغزش در حوضه	فرآوانی کل در واحد	تراکم لاغزش در واحد	فرآوانی کل حوضه	تراکم لاغزش در حوضه	فرآوانی کل در واحد	تراکم لاغزش در واحد	وزن نهایی واحدها	
۵۴۹۵۴۸۱۴	۴۲۵۹۸۱۶	۴۲۵۹۸۱۶	۰/۰۷۷۵	۴۳۵۸۳۱۲۵	۴۴۸۴۰۰	۰/۱۰۲	۰/۲۸۳	۰/۰۷۷۵	۴۲۵۹۸۱۶	۵۴۹۵۴۸۱۴	۰/۰۷۷۵	۴۲۵۹۸۱۶	۵۴۹۵۴۸۱۴	۰/۰۷۷۵
۵۴۹۵۴۸۱۴	۴۲۵۹۸۱۶	۴۲۵۹۸۱۶	۰/۰۷۷۵	۵۳۴۱۸	۵۳۴۱۸	۰	۰	۰/۰۷۷۵	۴۲۵۹۸۱۶	۵۴۹۵۴۸۱۴	۰/۰۷۷۵	۴۲۵۹۸۱۶	۵۴۹۵۴۸۱۴	۰/۰۷۷۵

منبع: نگارندگان، ۱۴۰۱

به ترتیب با تراکم لاغزش ۰/۰۵۵ و ۰/۰۲۳ تعلق دارد در حالی که در سازن‌های آبرفتی کواترنری و سروک لغزشی مشاهده نشده است. بدون تردید شکستگی‌های سطح زمین در رسوب آب به داخل زمین و خرد شدن سنگها در نتیجه سست شدن اتصال بین مواد سنتگی تأثیر زیادی دارد که خود منجر به فراهم نمودن شرایط وقوع حرکات توده‌ای می‌شود بر اساس نتایج بالاترین فرآوانی زمین لاغزش در منطقه مطالعاتی در طبقه چهارم فاصله از گسل رخ داده است (جدول ۸).

عوامل زمین‌شناسختی همچون سازاندها و گسل‌ها نیز در کنار عوامل توپوگرافی در بروز پدیده زمین‌лагزش از اهمیت ویژه‌ای برخوردارند. واحدهای سنگ‌شناسی منطقه مورد مطالعه از نوع آسماری، تلهزنگ، آبرفتی کواترنری، سروک، شیل و کردمی باشد (جدول ۷). بالاترین مقدار فرآوانی لاغزش به ترتیب به کردمی با تراکم لاغزش ۰/۱۸۷، شیل با تراکم لاغزش ۰/۱۲۶ و سپس به واحدهای سنگی تلهزنگ و آسماری

جدول ۷. وزن لایه عاملی سنگ شناسی در حوضه آبخیز بیونیز

واحد سنگ شناسی دچار لغزش	فراوانی کل حوضه	فراوانی کل لغزش در حوضه	تراکم لغزش در کل حوضه	فراوانی کل واحد	تراکم لغزش در واحد	وزن نهایی واحدها
آسماری	۵۴۹۵۴۸۱۴	۴۲۵۹۸۱۶	۰/۰۷۷۵	۹۲۱۶۵۳۲	۲۲۰۱۳۲	۰/۰۲۳
تله زنگ	۵۴۹۵۴۸۱۴	۴۲۵۹۸۱۶	۰/۰۷۷۵	۴۰۷۹۵۶۷	۲۲۵۸۰۱	۰/۰۵۵
آبرفتی کوآترنری	۵۴۹۵۴۸۱۴	۴۲۵۹۸۱۶	۰/۰۷۷۵	۴۴۱۰۲۹۱	۰	۰
سروک	۵۴۹۵۴۸۱۴	۴۲۵۹۸۱۶	۰/۰۷۷۵	۱۵۲۲۱۷۱	۰	۰
شیل	۵۴۹۵۴۸۱۴	۴۲۵۹۸۱۶	۰/۰۷۷۵	۷۱۱۱۱۵۵	۸۹۶۸۱۰	۰/۱۲۶
کرده‌می	۵۴۹۵۴۸۱۴	۴۲۵۹۸۱۶	۰/۰۷۷۵	۱۶۷۳۸۷۰۳	۳۱۳۸۸۰۰	۰/۱۸۷

منبع: نگارندگان، ۱۴۰۱

جدول ۸. وزن لایه عاملی گسل در حوضه آبخیز بیونیز

فاصله از گسل دچار لغزش(متر)	فراوانی کل حوضه	فراوانی کل لغزش در کل حوضه	تراکم لغزش در کل حوضه	فراوانی کل واحد	تراکم لغزش در واحد	وزن نهایی واحدها
۰-۵۱۵۵	۵۴۹۵۴۸۱۴	۴۲۵۹۸۱۶	۰/۰۷۷۵	۱۵۲۷۴۱۹۴	۰	۰
۵۱۵۵-۱۰۸۶	۵۴۹۵۴۸۱۴	۴۲۵۹۸۱۶	۰/۰۷۷۵	۹۷۹۶۹۵۲	۴۴۸۳۹۹	۰/۰۴۵
۱۰۸۶-۱۷۴۱	۵۴۹۵۴۸۱۴	۴۲۵۹۸۱۶	۰/۰۷۷۵	۹۸۸۳۸۴۹	۶۷۲۵۴۱	۰/۰۶۸
۱۷۴۱-۲۴۵۲	۵۴۹۵۴۸۱۴	۴۲۵۹۸۱۶	۰/۰۷۷۵	۱۰۰۰۰۶۹۶۰	۲۹۱۴۶۰۲	۰/۰۲۹
۲۴۵۲-۳۵۵۲	۵۴۹۵۴۸۱۴	۴۲۵۹۸۱۶	۰/۰۷۷۵	۹۹۹۹۱۲۳	۴۴۸۱۳۵	۰/۰۴۴

منبع: نگارندگان، ۱۴۰۱

تکیه گاه دامنه منجر به سقوط و حرکت ناگهانی مواد دامنه‌ای به سمت پایین دست می‌شود. در خصوص آخرين متغير مورد بررسی و ارتباط آن با وقوع زمین‌لغزش در منطقه مورد مطالعه مشخص شد که بیشترین فراوانی وقوع زمین‌لغزش در کاربری اراضی زراعت دیم رخ داده است. بنابراین می‌توان گفت دخالت‌های انسانی از جمله تغییر کاربری اراضی منطقه مورد مطالعه به اراضی دیم، به دلیل تغییر شیب و ناپایدار نمودن دامنه‌ها باعث وقوع زمین‌لغزش و تشدید آن در منطقه مورد مطالعه می‌گردد.

نتایج حاصل از بررسی اثر تراکم زهکشی (جدول ۹) نشان داد که بیشترین لغزش‌ها در اولین طبقه یعنی فاصله ۰-۱۸۸۵ متری از رودخانه رخ داده است (جدول ۹). تأثیر این عامل به صورت برداشت تکیه گاه جانبی و زیرین دامنه‌ها بر اثر فرسایش روധانه‌ای و زیرشویی رودها است که منجر به افزایش ناپایداری دامنه و در نهایت تغییر هندسه و تندر شدن آن می‌شود. در حالی که بر اساس نتایج کمترین میزان زمین‌لغزش در آخرین طبقه رخ داده است. نتایج حاصل در خصوص تأثیرگذاری فاصله از جاده بر زمین‌لغزش (جدول ۱۰) نشان داد با افزایش فاصله از جاده در منطقه مورد مطالعه فراوانی زمین‌لغزش کاهش یافته به طوری که بیشترین فراوانی زمین‌لغزش در واحد به طبقه اول اختصاص یافته و در طبقات چهارم و پنجم مقدار آن صفر بوده است. احداث راههای ارتباطی در دامنه‌ها با ایجاد انفصال در پیوستگی دامنه و یا از بین بردن

جدول ۹. وزن لایه عاملی رودخانه در حوضه آبخیز بیونیز

فاصله از رودخانه دچار لغزش(متر)	فرآوانی کل حوضه	فرآوانی کل لغزش در حوضه	تراکم لغزش در کل حوضه	فرآوانی کل واحد	تراکم لغزش در واحد	وزن نهایی واحدها
۰-۱۸۸۵	۵۴۹۵۴۸۱۴	۴۲۵۹۸۱۶	۰/۰۷۷۵	۱۰۳۶۰۲۱۴	۱۵۶۹۴۰۰	۰/۱۵۱
۴۲۵۸-۱۸۸۵	۵۴۹۵۴۸۱۴	۴۲۵۹۸۱۶	۰/۰۷۷۵	۱۰۳۹۰۲۶۸	۱۱۵۱۰۳۰	۰/۱۱
۴۲۵۸-۶۷۵۲	۵۴۹۵۴۸۱۴	۴۲۵۹۸۱۶	۰/۰۷۷۵	۱۰۸۵۶۲۴۱	۱۱۲۰۱۲۹	۰/۱۰۳
۶۷۵۲-۹۷۹۴	۵۴۹۵۴۸۱۴	۴۲۵۹۸۱۶	۰/۰۷۷۵	۱۰۱۰۵۲۴۵	۶۷۲۶۱۰	۰/۰۶۶
۹۷۹۴-۱۵۴۵۲	۵۴۹۵۴۸۱۴	۴۲۵۹۸۱۶	۰/۰۷۷۵	۹۰۰۰۹۶۲	۲۲۴۱۰۲	۰/۰۲۴

منبع: نگارندگان، ۱۴۰۱

جدول ۱۰. وزن لایه عاملی جاده در حوضه آبخیز بیونیز

فاصله از جاده دچار لغزش(متر)	فرآوانی کل حوضه	فرآوانی کل لغزش در حوضه	تراکم لغزش در کل حوضه	فرآوانی کل واحد	تراکم لغزش در واحد	وزن نهایی واحدها
۰-۲۹۴۵	۵۴۹۵۴۸۱۴	۴۲۵۹۸۱۶	۰/۰۷۷۵	۱۰۲۴۷۴۲۶	۲۴۶۶۲۰۰	۰/۲۴
۲۹۴۵-۷۸۹۰	۵۴۹۵۴۸۱۴	۴۲۵۹۸۱۶	۰/۰۷۷۵	۱۰۲۰۲۸۰۰	۱۷۹۶۵۲۹	۰/۱۷
۷۸۹۰-۱۱۸۳۶	۵۴۹۵۴۸۱۴	۴۲۵۹۸۱۶	۰/۰۷۷۵	۱۰۳۲۷۰۳۵	۲۲۴۳۰۰	۰/۰۲۱
۱۱۸۳۶-۱۵۷۸۱	۵۴۹۵۴۸۱۴	۴۲۵۹۸۱۶	۰/۰۷۷۵	۱۰۴۲۰۰۸۲	۰	۰
۱۵۷۸۱-۱۹۷۲۶	۵۴۹۵۴۸۱۴	۴۲۵۹۸۱۶	۰/۰۷۷۵	۹۷۸۶۲۶۷	۰	۰

منبع: نگارندگان، ۱۴۰۱

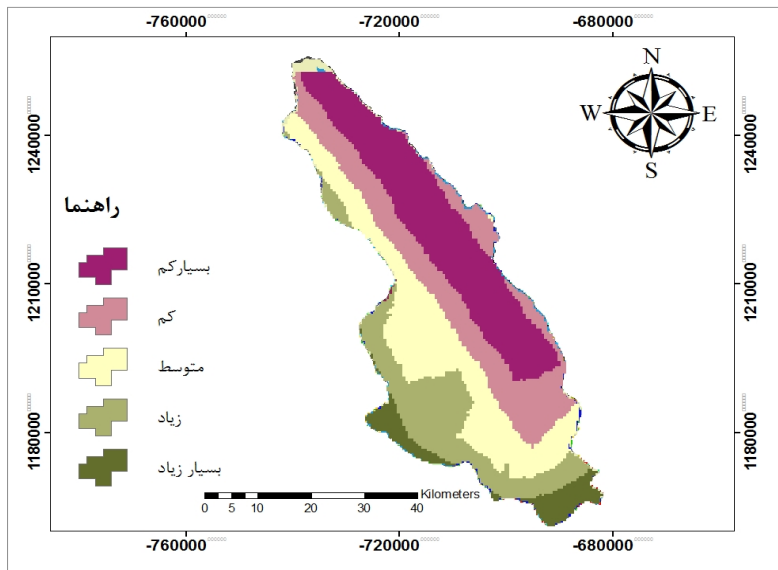
جدول ۱۱. وزن لایه عاملی کاربری اراضی حوضه آبخیز بیونیز

نوع کاربری اراضی دچار لغزش	فرآوانی کل حوضه	فرآوانی کل لغزش در حوضه	تراکم لغزش در کل حوضه	فرآوانی کل واحد	تراکم لغزش در واحد	وزن نهایی واحدها
مرتع	۵۴۹۵۴۸۱۴	۴۲۵۹۸۱۶	۰/۰۷۷۵	۱۴۰۰۱۳۳۷	۴۵۱۰۰۲	۰/۰۳۲
زراعت آبی و دیم	۵۴۹۵۴۸۱۴	۴۲۵۹۸۱۶	۰/۰۷۷۵	۱۹۰۵۷۹۱	۰	۰
محرومده شهر	۵۴۹۵۴۸۱۴	۴۲۵۹۸۱۶	۰/۰۷۷۵	۱۱۷۸۹۰	۰	۰
زراعت آبی	۵۴۹۵۴۸۱۴	۴۲۵۹۸۱۶	۰/۰۷۷۵	۱۳۸۰۲۳۰۱	۰	۰
زراعت دیم	۵۴۹۵۴۸۱۴	۴۲۵۹۸۱۶	۰/۰۷۷۵	۱۲۰۳۴۴۵۴	۲۷۴۰۴۰۰	۰/۲۲۷
رختنمون سنگی	۵۴۹۵۴۸۱۴	۴۲۵۹۸۱۶	۰/۰۷۷۵	۱۱۹۳۴	۰	۰
جنگل	۵۴۹۵۴۸۱۴	۴۲۵۹۸۱۶	۰/۰۷۷۵	۱۱۳۵۷۹۰۱	۱۳۵۴۱۶۰	۰/۱۱۹
بیشه زار بوته زار	۵۴۹۵۴۸۱۴	۴۲۵۹۸۱۶	۰/۰۷۷۵	۲۵۹۷۳	۰	۰
اراضی بااغی	۵۴۹۵۴۸۱۴	۴۲۵۹۸۱۶	۰/۰۷۷۵	۱۱۰۳۴۵۴	۰	۰

منبع: نگارندگان، ۱۴۰۱

نقشه پهنه‌بندی زمین‌لغزش منطقه بر اساس جمع جبری لایه‌های مورد استفاده تهیه گردیده (شکل ۳) که حاکی از طبقات زمین‌لغزش با خطر خیلی زیاد (۰/۱۴)، زیاد (۰/۱۹/۹۷)، متوسط (۰/۲۴/۵۵)، کم (۰/۲۲/۹۸) و خیلی کم (۰/۱۸/۳) در منطقه مورد مطالعه می‌باشد (جدول ۱۲).

در پژوهش حاضر پس از تعیین وزن هر یک از نقشه‌های عاملی و محاسبه وزن نهایی واحدها برای هر لایه عاملی (محاسبه شده بر اساس نسبت تراکم لغزش در واحد به تراکم لغزش در کل حوضه) مشخص شده با استفاده از مدل LIM،



شکل ۳. نقشه پهنه‌بندی خطر زمین لغزش حوضه آبخیز بیونیز، منبع نگارندگان، ۱۴۰۱

جدول ۱۲. نتیجه ارزیابی کارایی مدل LIM در پهنه‌بندی خطر زمین لغزش بر اساس لغزش‌های موجود در حوضه به درصد

درصد	منبع: نگارندگان، ۱۴۰۱	پتانسیل خیلی زیاد	پتانسیل متوسط	پتانسیل کم	مجموع	کلاس پهنه‌بندی
۱۰۰	۱۸/۳	۲۲/۹۸	۲۴/۵۵	۱۹/۹۷	۱۴/۲	دراست

۴. بحث و نتیجه‌گیری

نشان دادند زمین لغزش‌ها در طبقات ارتفاعی میانی تراکم بالا و در طبقات ارتفاعی بالا تراکم کمی دارند مطابقت دارد. بررسی متغیر شیب حاکی از وجود بیشترین فراوانی زمین-لغزش در شیب‌های ملایم منطقه مورد مطالعه بوده که با نتایج (Sujatha and Sridhar, 2021; Samadzadeh, 2015) مطابقت و با یافته‌های (Roback et al, 2018) که فراوانی وقوع لغزش در شیب‌های بالا را نشان داد، همخوانی ندارد. بررسی وضعیت وقوع زمین لغزش در جهات مختلف شیب منطقه نشان می‌دهد جهت شیب شمالی بیشترین تراکم زمین-لغزش در واحد (۰/۰۳۹) را دارا می‌باشد، این نتیجه با نتایج (Abedini et al, 2014) همخوانی دارد. بیشترین فراوانی لغزش در منطقه مورد مطالعه به طبقه دوم بارش (۴۶۳-۴۴۶) بیشترین و کمترین آن به طبقه اول بارش (۴۴۶-۴۱۷) منطقه

زمین لغزش یکی از مخرب ترین خطرات زمین شناسی در مناطق کوهستانی محسوب می‌شود، برای کاهش سیستماتیک و مدیریت زمین لغزش، ارزیابی زمین لغزش و پهنه‌بندی آن مورد نیاز است. تکنیک‌های زیادی برای این امر توسعه پیدا کرده یکی از این تکنیک‌ها استفاده از مدل آماری LIM است که در تحقیق حاضر برای حوضه بیونیز استان کرمانشاه از آن استفاده شد. برای این اثر ۱۱ فاکتور ارتفاع از سطح دریا، شیب، جهت شیب، تراکم زهکشی، فاصله از جاده، لیتوژئی، فاصله از گسل، پوشش گیاهی، کاربری اراضی، بارندگی سالانه و هیدرولوژی خاک مورد بررسی قرار گرفت. بر اساس نتایج طبقات ارتفاعی چهارم و سوم منطقه مطالعاتی بیشترین فراوانی و طبقه پنجم و دوم کمترین فراوانی زمین-لغزش را نشان دادند. که با نتایج (Roback et al., 2018) که

گلستان شهرستان خلخال به ترتیب مناطق با بارش زیاد، طبقات ارتفاعی، مناطق با پوشش گیاهی کم و مناطق با نفوذ پذیری زیاد خاک را مهمترین فاکتورها تشخیص دادند (Madadi et al, 2013). در حوضه آبخیز بالیخلی در استان اردبیل عوامل طبقات ارتفاعی، شیب، خاک با رسوبات سست و کم مقاوم، مناطق با بارش زیاد و همچنین مناطق با پوشش گیاهی کم را تأثیرگذارترین عوامل در خطر رخداد زمین لغزش معرفی کردند (Pourffarash zadeh et and Asghari Mathew ET AL, 2007; al, 2021). محققینی مانند (Kalimuthu et al, 2015) نیز در مطالعات خود شیب زمین را مهمترین عامل وقوع زمین لغزش معرفی کردند. در برخی مطالعات نیز علاوه بر شیب زمین، سنگ‌شناسی نیز به عنوان مهمترین عامل مؤثر بر وقوع زمین لغزش شناخته شده است (Majd bavi and Moemeni pour, Samadzadeh, 2015; Majd bavi and Moemeni pour, Samadzadeh, 2015; Majd bavi and Moemeni pour, Samadzadeh, 2021). پیشنهاد می‌شود در اجرای پروژه‌های عمرانی در بخش‌های حساس محدوده مطالعاتی در برابر زمین‌لغزش، نسبت به رعایت ضوابط و مقرارات زیست محیطی و پایداری دامنه‌ها اهتمام ویژه‌ای به عمل آید. با توجه به حساسیت اراضی زارعی دیم در منطقه مورد مطالعه نسبت به وقوع زمین‌لغزش توصیه می‌شود از طرفی با توجه به وقوع زراعت دیم در منطقه مطالعاتی اجتناب شود. از طرفی با توجه به وقوع زمین‌لغزش در اراضی با شیب ملایم منطقه از تأسیس مناطق صنعتی حساس و امنیتی در اراضی با شیب ملایم در منطقه ممانعت به عمل آید. همچنین ایجاد دیواره‌های محافظ در دامنه‌های حاشیه جاده‌ها به ویژه در بخش‌های ناپایدار دامنه با هدف افزایش پایداری دامنه‌ها و تثیت آنها از اهمیت ویژه‌ای برخوردار است.

اختصاص دارد، که با نتایج (Abedini et al, 2014) مبنی بر تراکم بالای زمین‌لغزش در طبقات میانی بارش مغایرت دارد. نتایج فاصله از رودخانه و اثر آن بر زمین‌لغزش منطقه مطالعاتی حاکی وجود بالاترین فراوانی زمین‌لغزش در اولین طبقه و کمترین فراوانی در آخرین طبقه فاصله از رودخانه می‌باشد. نتیجه این بخش تحقیق با نتایج محققینی همچون (Mathew et al, 2013; Robach et al, 2018; and Abedini et al, 2014) مطابقت نشان داد. به طور کلی می‌توان از طریق مؤلفه وزن نهایی محاسبه شده برای متغیرهای مستقل مورد استفاده به اهمیت و نقش آنها در وقوع زمین‌لغزش پی برد. چنانچه بیشینه وزن نهایی بدست آمده برای هر لایه عاملي در منطقه مورد مطالعه را ملاک و معیار قرار دهیم، اهمیت عوامل تأثیرگذار در وقوع زمین‌لغزش در منطقه به این ترتیب خواهد بود: شیب، فاصله از جاده، کاربری اراضی، پوشش گیاهی، ارتفاع، سنگ‌شناسی، فاصله از رودخانه، بارندگی، گروه هیدرولوژیکی خاک، جهت شیب و فاصله از گسل. بنابراین می‌توان نتیجه گرفت عوامل اولیه و اصلی جهت ظهور حرکات توده‌ای، در وقوع زمین‌لغزش‌های منطقه سهیم بوده اند. بر اساس نتایج پنهانی زمین‌لغزش حدود ۳۴ درصد منطقه مطالعاتی در محدوده خطر زیاد تا خیلی زیاد وقوع زمین‌لغزش قرار گرفته و حدود ۱۸ درصد منطقه در محدوده با پتانسیل خیلی کم واقع شده است. مسئله بسیار مهمی که در این تحقیق به آن دست پیدا کردیم نقش دستکاری انسانی در محدوده مورد مطالعه می‌باشد که به صورت تغییر کاربری اراضی توسط انسان به زمین‌های زراعی و در نهایت تغییر شیب دامنه‌ها منجر به و وقوع زمین‌لغزشها و تشدید آنها در منطقه می‌شوند. برای مطالعه‌ای که در حوضه چناران استان خراسان شمالی داشتند به ترتیب اهمیت فاکتورهای مناطق با نفوذ پذیری زیاد خاک، طبقات ارتفاعی را تأثیرگذارترین عوامل در تشدید خطر زمین لغزش تشخیص دادند

- Abedini, M., & Tmimi, R. 2013. The application of LIM model in risk zoning of the possibility of landslides in Aliabad Khalkhal region. The First National Conference on Environment, Energy and Biodefense. (In Persian).
- Abedini, M., & Tmimi, R. 2014. Assessment and zoning of landslide risk in Golestan region of Khalkhal using LIM model. The Second National Conference on Environment, Energy and Biodefense. (In Persian).
- Corominas, J., van Westen, CJ., Frattini, P., Cascini, L., Malet, JP., Fotopoulou, S., Catani, F., Eeckhaut, M., Mavrouli, OC., Agliardi, F., Pitilakis, K., Winter, MG., Pastor, M., Ferlisi, S., Tofani, V., Hervás, J., & Smith, JT. 2014. Recommendations for the quantitative analysis of landslide risk: bull Eng. Geol Environ, Vol.73, No.2, Pp. 209-263.
<http://dx.doi.org/10.1007/s10064-013-0538-8>
- Dastranj, A., Vakili tajareh, F., & Noor, H. 2021. Evaluation of Hazard Landslide Zonation Using Fuzzy Logic Method in Binalood Mountain. Journal of Watershed Management Sciences, Vol.15, No.53, Pp. 12-22. (In Persian)
<http://dorl.net/dor/20.1001.1.20089554.140.0.15.53.5.9>
- Fallah Zazuli, M., Vafaei Nezhad, A., Alesheikh, A. A., Modiri, M., & Aghamohammadi, H. 2020. Landslide hazard zoning using Shannon Entropy and Information Value models in GIS environment - Case study: East Rudbar-e Alamut District-Qazvin Province. Scientific- Research Quarterly of Geographical Data (SEPEHR), Vol.28, No.112, Pp. 123-136. (In Persian).
<https://doi.org/10.22131/sepehr.2020.38611>
- Gabet, E. J., Douglas W. Burbank, and Jaakkko K. Putkonen, 2004. Rainfall Thresholds for Landsliding in the Himalayas of Nepal. Geomorphology, Vol.63, No.4, Pp. 131-143.
<https://doi.org/10.1016/j.geomorph.2004.03.011>
- Gerrard, J., & Gardner, R. 2002. "Relationships between Landslid andLand Use in the Likhu Khola Drainage Basin", Middle Hills, Nepal, Mountain Research and Devlopment, Vol. 22, No. 1: 48-55.
[https://doi.org/10.1659/0276-4741\(2002\)022\[0048: RBLALU\]2.0.CO;2](https://doi.org/10.1659/0276-4741(2002)022[0048: RBLALU]2.0.CO;2)
- Ghafoori, M., & Ashoori, A. 1998. Landslide as one of the natural disasters in North Khorasan. Geographical Researchs, No.45, Pp. 90-101. (In Persian).
- Girma, F., Raghuvanshi, TK., Ayenew, T., & Hailemariam, T. 2015. Landslide hazard zonation in Ada Berga district, Central Ethiopia – a GIS based statistical approach. Journal of Geomatics, Vol.9, No.1, Pp. 25-38
- Hamza, T., & Raghuvanshi, TK. 2017. GIS based Landslide Hazard Evaluation and Zonation - A case from Jeldu District, Central Ethiopia. J King Saud Univ Sci, Vol.29, No.2, Pp. 151-165.
<http://dx.doi.org/10.1016/j.jksus.2016.05.002>
- Kalimuthu, H., Tan, WN., Lim, SL., & Fauzi, MFA. 2015. Assessing frequency ratio method for landslide susceptibility mapping in Cameron Highlands, Malaysia. In 2015 IEEE Student Conference on Research and Development (SCoReD) (pp. 93-99). IEEE.
- Khezri, S., Roostaei, Sh., & Radjaei Asl, A. 2006. Evaluation and slope instability risk zonation in centeral section of Zab basin (Sardasht Township) by Anbalagan method.Journal of Spacial Planning, Vol.10, No.1, and pp. 49-80. (In Persian).
<http://hsmsp.modares.ac.ir/article-21-695-en.html>
- Khodiy gheshlagh, L., Roostaei, Sh., & Hejazi, S.A. 2017. Evaluation of logistic regression method in investigating the potential of landslides, case study: Hajilerchai River catchment area. Physical Geography

- Quarterly, Vol.10, No.37, Pp. 45-57. (In Persian)
<https://dorl.net/dor/20.1001.1.20085656.1396.10.37.4.5>
- Madadi, A., Novei, B., & Esmaeili, A. 2013. Landslide risk assessment and its zoning using LIM model and applying GIS technique in Givi Chai watershed (Ardebil). Journal of Geography and Planning, No.43, Pp. 307-326. (In Persian).
- Majd-bavi, A., & Mumipour, M. 2021. Landslide susceptibility zonation in Shahid Abbaspour Dam district. Journal of Geography and Environmental Hazards, Vol.10, No.1, Pp. 65-80. (In Persian).
<https://doi.org/10.22067/geoeh.2021.67029.0>
- Mathew, J., Jha, VK., & Rawat, GS. 2007. Application of binary logistic regression analysis and its validation for landslide susceptibility mapping in part of Garhwal Himalaya, India. International Journal of Remote Sensing, Vol.28, No.10, Pp. 2257-2275.
<https://doi.org/10.1080/01431160600928583>
- Mehrnahad, H. 2002. Investigating the role of Janba tectonics in causing landslides in Mahabad region. Second conference on engineering geology and environment of Iran, Tarbiat Modares University of Tehran, Pp. 267-277. (In Persian).
- Mengistu, F., Suryabagavan, KV., Raghuvanshi, TK., & Lewi, E. 2019. Landslide Hazard zonation and slope instability assessment using optical and InSAR data: a case study from Gidole town and its surrounding areas, southern Ethiopia. Remote Sensing of Land, Vol.3, No.1, Pp. 1-14. [https://doi.org/10.21523/gcj1.190301013\(1\):1-14](https://doi.org/10.21523/gcj1.190301013(1):1-14)
- Mesgarivash, A., Fllah, H., & Karimi Nasab, S. 2002. Investigating the role of effective factors in the occurrence of Mahmoud Abad Moskun landslide. Second conference on engineering geology and environment of Iran, Tarbiat Modares University of Tehran, Pp. 45-57. (In Persian).
<https://dorl.net/dor/20.1001.1.20085656.1396.10.37.4.5>
- Iran, Tarbiat Modares University of Tehran, Pp. 177-186. (In Persian).
- Moghimi, E., Alavipanah, SK., & Jafari, T. 2008. Evaluation and Zonation of Effective Factors on Landslide Occurrence of Aladagh Northern Slopes. Physical Geography Research Quarterly, No.64, Pp. 53-75. (In Persian).
- Ocakoglu, F., Gokeeoglu, C., & Ercanoglu, M. 2002. "Dynamics of aComplex Massmovement Triggered by Heavy Rainfall, a Case Studyfrom NW Turkey", Geomorphology, Vol.42, No.3, Pp. 329-341. [http://dx.doi.org/10.1016/S0169-555X\(01\)00094-0](http://dx.doi.org/10.1016/S0169-555X(01)00094-0)
- Pan, X., Nakamura, H., Nozaki, T., & Huang, X. 2008. A GIS-based landslide hazard assessment by multivariate analysis Landslides. J Jpn Landslide Soc, Vol.45, No.3, Pp. 187-195. <http://dx.doi.org/10.3313/jls.45.187>
- Peng, L., Niu, R., Huang, B., Wu, X., Zhao, Y., & Ye, R. 2014. Landslide susceptibility mapping based on rough set theory and support vector machines: A case of the Three Gorges area, China. Geomorphology, No.3, Pp. 287-301. <https://doi.org/10.1016/j.geomorph.2013.08.013>
- Pour farrash zadeh, F., & Asghari, S. 2022. Assesment and zoning the landslide susceptibility using statistical method in Blaikhly catchment (Yamchy Station). Journal of Geography and Environmental Hazards, Vol.11, No.2(42), Pp. 41-59. (In Persian).
<https://doi.org/10.22067/geoeh.2021.72256.1103>
- Raghuvanshi, TK., Ibrahim, J., & Ayalew, D. 2014. Slope stability susceptibility evaluation parameter (SSEP) rating scheme—an approach for landslide hazard zonation. J Afr Earth Sci, Vol.99, Pp. 595-612. <http://dx.doi.org/10.1016/j.jafrearsci.2014.05.004>
- Raghuvanshi, TK., Negassa, L., & Kala, PM. 2015. GIS based grid overlay method versus

- modeling approach – a comparative study for landslide Hazard zonation (LHZ) in Meta Robi District of west Showa zone in Ethiopia. Egypt J Remote Sens Space Sci, Vol.18, No.2, Pp. 235-250. <https://doi.org/10.1016/j.ejrs.2015.08.001>
- Rahmati, M., & Zand, F. 2018. Landslide hazard zonation using geographic information System landslide (Case study: Robat-Siahpoush rural district, Lorestan province). Journal of RS and GIS for Natural Resources, Vol.8, No.4, Pp. 63-75. (In Persian). <http://dorl.net/dor/20.1001.1.1735322.1401.22.77.1.8>
- Rajabi, M., Rezaei Moghadam, M H., & Takzare, A. 2022 Quantitative Analysis of Landslide Risk and Its Zoning in Alamut River Basin Using Logistic Regression Method, Vol.22, No.77, Pp. 1-14. (In Persian). <http://dorl.net/dor/20.1001.1.1735322.1401.22.77.1.8>
- Reichenbach, P., Rossi, M., Malamu, BD., Mihir, M., & Guzzetti, F. 2018. A review of statistically-based landslide susceptibility models. Ear Sci Revs, Vol.180, Pp. 60–91. <http://dx.doi.org/10.1016/j.earscirev.2018.03.001>
- Roback, K., Clark, MK., West, AJ., Zekkos, D., Li, G., Gallen, SF., & Godt, JW. 2018. The size, distribution, and mobility of landslides caused by the 2015 Mw7. 8 Gorkha earthquake, Nepal. Geomorphology, Vol.30, Pp. 121-138. <https://doi.org/10.1016/j.geomorph.2017.01.030>
- Roostaei, Sh., Mikhtari, D., Hosseini, Z., & Etmani Hagviran, M. 2015. The Study of Land Slide Occurance Potential in Mimeh River Ccachment in Ilam Provience Based on Analysis Network Process (ANP). Hydrogeomorphology, Vol.2, No.4, Pp. 101-123. (In Persian). <https://dorl.net/dor/20.1001.1.23833254.1394.2.4.6.9>
- Samadzade, R. 2015. Monitoring and zonatione mass movements hazards in the Ardabil - Sarcham. Researches in Earth Sciences, Vol.6, No.3, Pp. 19-33. (In Persian). <https://dorl.net/dor/20.1001.1.20088299.1394.6.3.2.0>
- Su, Q., Weiheng, T., Shiguang, M., Xiaoyuan, Zh., Kaixin, L., Xiaoye, S., Jianli, G., & Yonggang, Y. 2021. "Landslide Susceptibility Zoning Using C5. 0 Decision Tree, Random Forest, Support Vector Machine and Comparison of Their Performance in a Coal Mine Area." Frontiers in Earth Science, V. 9. <https://doi.org/10.3389/feart.2021.781472>
- Sujatha, ER., & Sridhar, V. 2021. Landslide susceptibility analysis: a logistic regression model case study in Coonoor, India. Hydrology, Vol.8, No.1, P. 41. <http://dx.doi.org/10.3390/hydrology8010041>
- Talaei Dolagh, R., & Ghayomian, J. 2002. Identifying and investigating the factors affecting the landslide in the southwest. Second conference on engineering geology and environment of Iran, Tarbiat Modares University of Tehran, Pp. 129-140. (In Persian).
- Van, W., & C.J. 1995. "Geographic Information System inLandslide Hazard Zoning: A Review, with Example from the Andesof Colombia in: Price, M. and System", Taylor & Francis, Bsingstoke, U.K. PP 135-165.
- Wan, S. 2009. A Spatial Decision Support System for Extracting the Core Factors andThresholds for Landslide Susceptibility Map. Engineering Geology, Vol.108, No.3-4, Pp. 237-251. <https://doi.org/10.1016/j.enggeo.2009.06.014>
- Yang, Z., Qiao, J., & Zhang, X. 2010. Regional Landslide Zonation Based on Entropy Method in ThreeGorges Area, China. Seventh International Conference on Fuzzy Systems andKnowledge Discovery, (FSKD 2010). <http://dx.doi.org/10.1109/FSKD.2010.5569097>

- Zazuli, M.F., Vafaeinejad, A., Alesheykh, A.A., Moridi, M., & Aghamohammadi, H. 2019. Mapping landslide susceptibility in the Zagros Mountains, Iran: a comparative study of different data mining models. *Earth Sci Inform*, Vol.12, pp:615-628.
<https://doi.org/10.1007/s12145-019-00389-w>
- Roback, K., Clark, M. K., West, A. J., Zekkos, D., Li, G., Gallen, S. F., ... & Godt, J. W. (2018). The size, distribution, and mobility of landslides caused by the 2015 Mw7. 8 Gorkha earthquake, Nepal. *Geomorphology*, Vol.301, Pp. 121-138.
<https://doi.org/10.1016/j.geomorph.2017.01.030>
- Sujatha, E. R., & Sridhar, V. (2021). Landslide susceptibility analysis: A logistic regression model case study in Coonoor, India. *Hydrology*, Vol.8, No.1, Pp. 41-59.
<https://doi.org/10.3390/hydrology8010041>
- Mathew, J., Babu, D.G., Kundu, S., Vinod Kumar, K., & Pant, C.C. 2013. Integrating intensity-duration-based rainfall threshold and antecedent rainfall-based probability estimate towards generating early warning for rainfall-induced landslides in parts of the Garhwal Himalaya, India. *Landslides*, Vol.11, Pp. 575–588.
<https://doi.org/10.1007/s10346-013-0408-2>
- Kalimuthu, H., Nee Tan, W., Liang Lim, S., & Ahmad Fauzi, M.F. 2015. Assessing frequency ratio method for landslide susceptibility mapping in Cameron Highlands, Malaysia. 2015 IEEE Student Conference on Research and Development (SCOReD).
<https://doi.org/10.1109/SCORED.2015.7449440>